

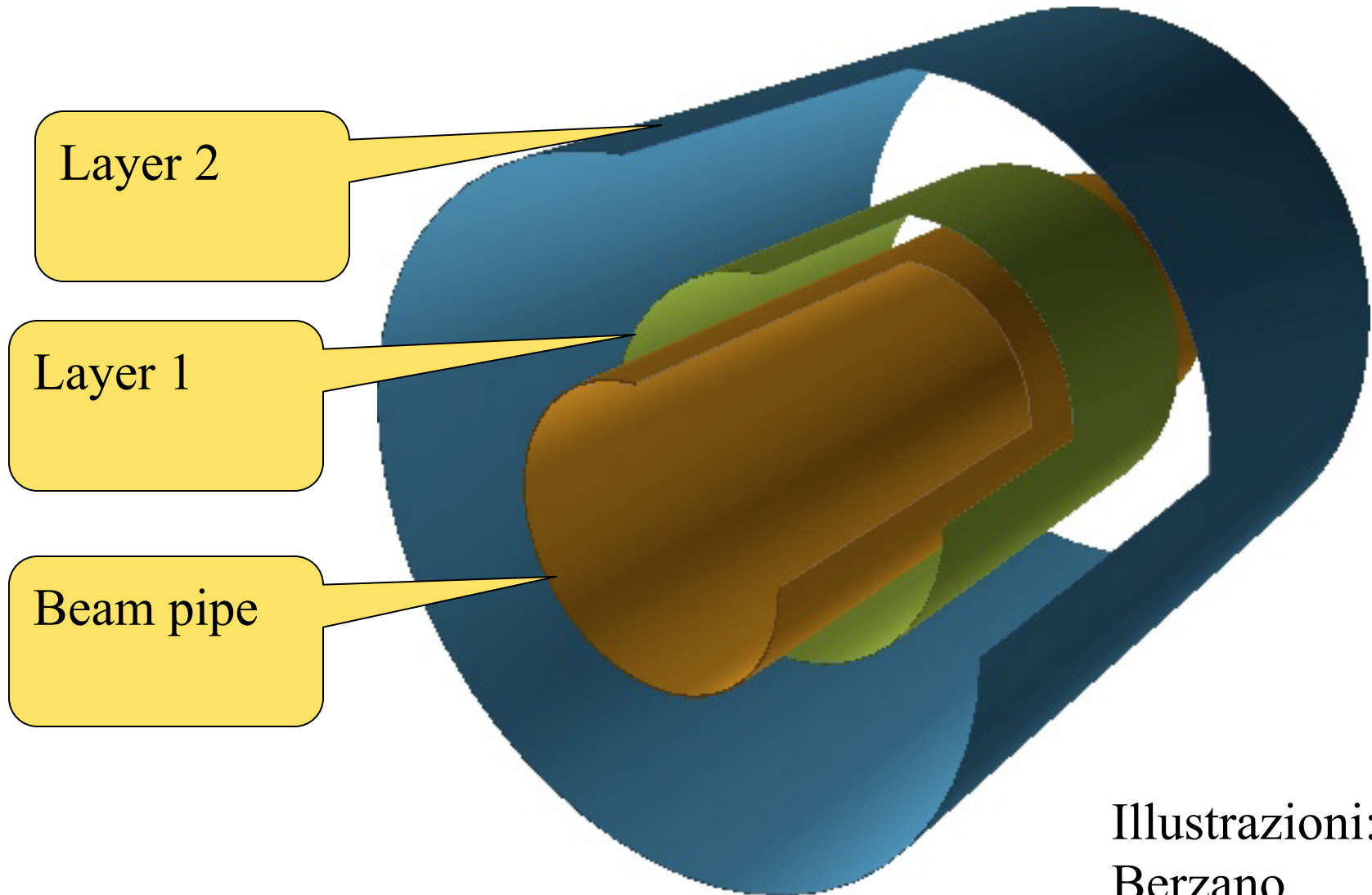
Esercizio per l'esame

- Si consideri un esperimento ad un collider (e.g. collisioni p-p)
- Le collisioni avvengono in una regione (collision *diamond*) centrata nell'origine di un sistema di riferimento cartesiano, nel quale z rappresenta la direzione del fascio
 - ❑ La dispersione in z è di diversi centimetri
 - ❑ La dispersione in x e y dell'ordine del decimo di millimetro
- Lo scopo dei rivelatori di vertice è quello di determinare la posizione della posizione della collisione (“vertice primario”)
- Ci proponiamo qui di ricostruire la coordinata z del vertice

Esercizio per l'esame

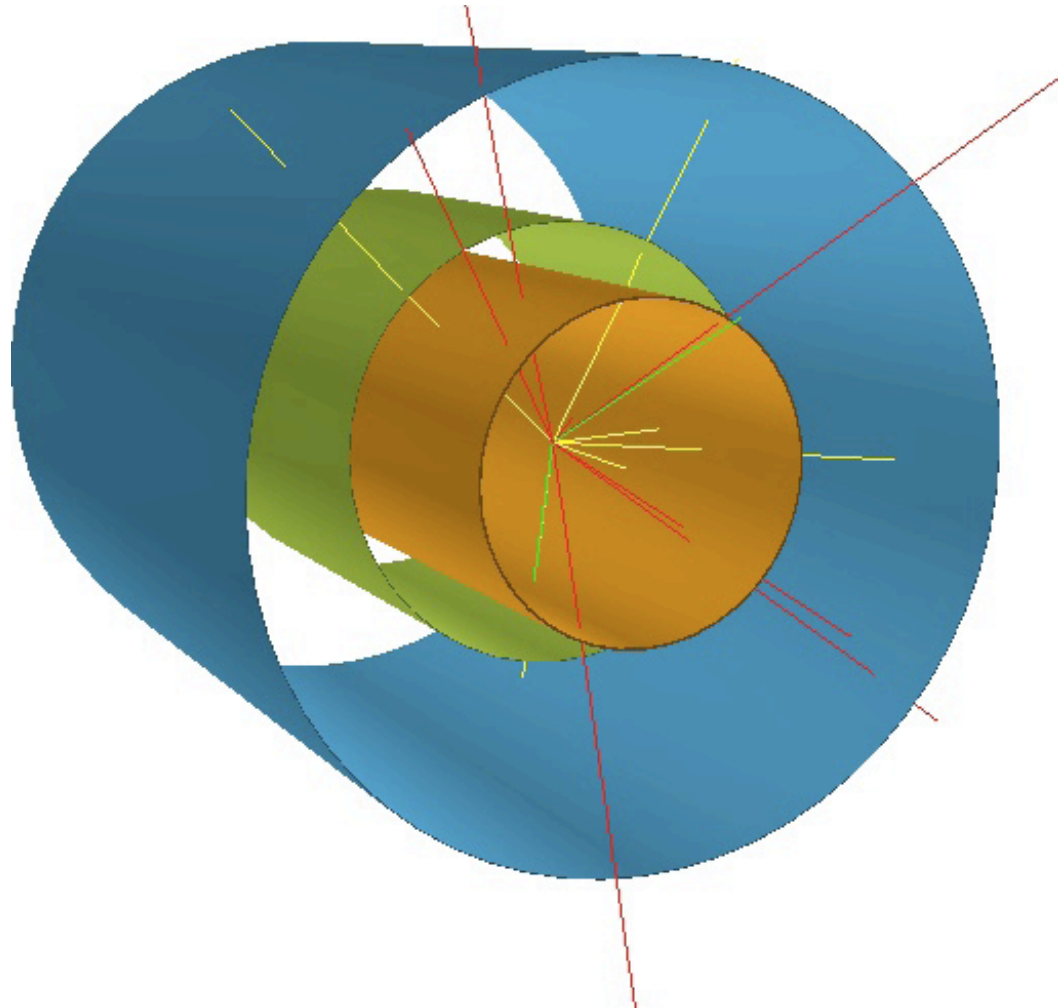
- Si suppone di avere un rivelatore di vertice costituito da due piani di pixel al silicio, coassiali con l'asse del fascio.
- Generalmente la regione di interazione è immersa in campo magnetico. Si suppone che l'intensità del campo e la prossimità dei rivelatori al vertice primario siano tali da assumere localmente rettilinee le traiettorie delle particelle cariche di alta energia
 - ❑ O, meglio, si assume di poter disporre di un numero significativo di particelle di alto momento, con traiettoria rettilinea

Layout



Illustrazioni: D.
Berzano

Visualizzazione di una interazione



Ipotesi di lavoro

- Si simulino delle particelle di alto momento → traiettorie rettilinee, almeno localmente
- La simmetria dell'esperimento è cilindrica
- La coordinata z del vertice ha una distribuzione normale con r.m.s. 5.3 cm
- Le coordinate x e y hanno distribuzioni normali con r.m.s. 0.1 mm
- Beam pipe di Berillio con raggio di 3 cm e spessore 0.8 mm
- Primo layer: raggio di 4 cm. Spessore di 0.2 mm
- Secondo layer: raggio di 7 cm.
- I due rivelatori hanno estensione in z pari a 16.46 cm (quindi un'accettanza approssimativamente pari a $-1 < \eta < 1$)
- Ricostruzione “fast” con smearing dei punti di impatto:
 - ❑ 120 μm in direzione z
 - ❑ 30 μm in direzione $r\phi$
- Si simuli lo scattering multiplo nella beam pipe e nel silicio

$$\eta = -\ln\left[\tan\left(\frac{\theta}{2}\right)\right]$$

Simulazione e ricostruzione

1. Simulazione:

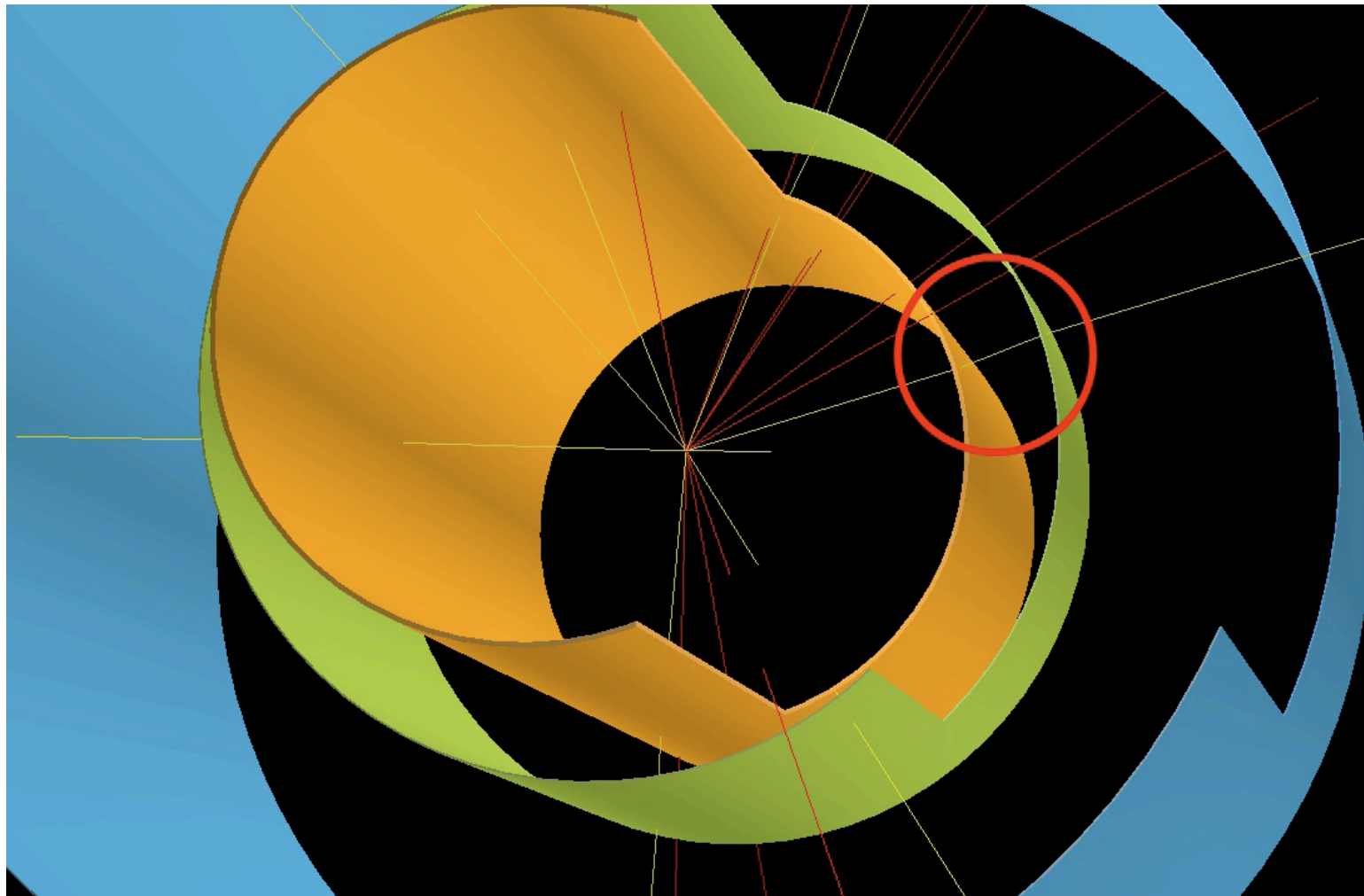
- ☐ Generazione gaussiana della posizione del vertice
- ☐ Generazione della molteplicità di particelle cariche (e.g. da distribuzione assegnata, uniforme, fissa,...)
- ☐ Generazione della direzione associata ad ogni particella (uniforme in azimut, con distribuzione assegnata in pseudorapidità)
- ☐ Trasporto delle particelle:
 - intersezione con la beam pipe
 - Scattering multiplo (spegribile)
 - Posizione di impatto sui rivelatori

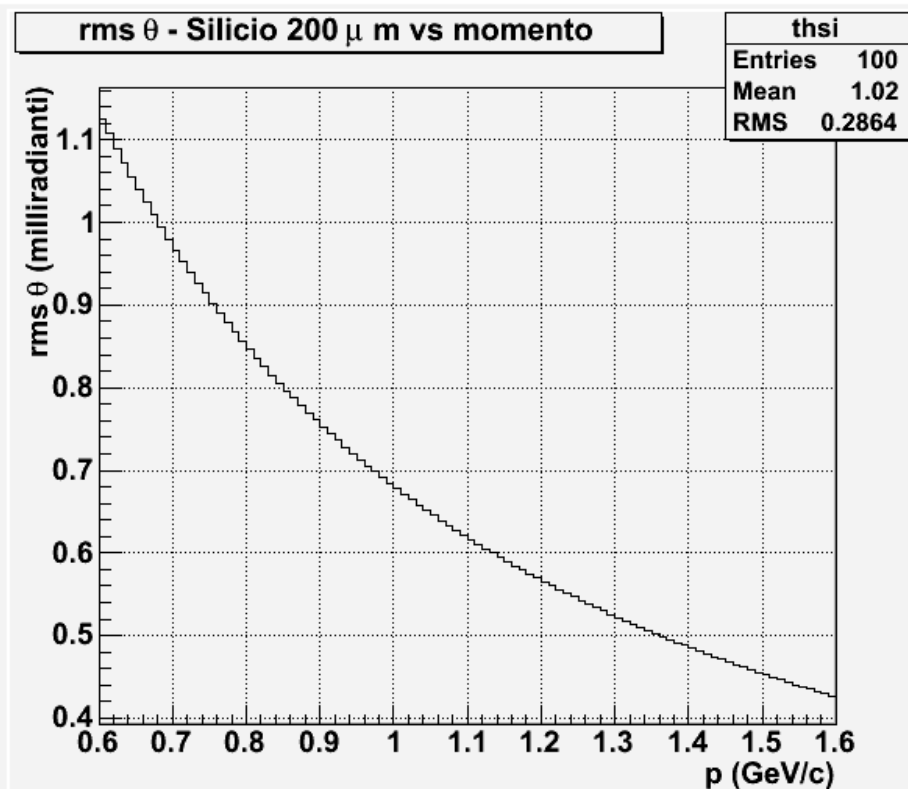
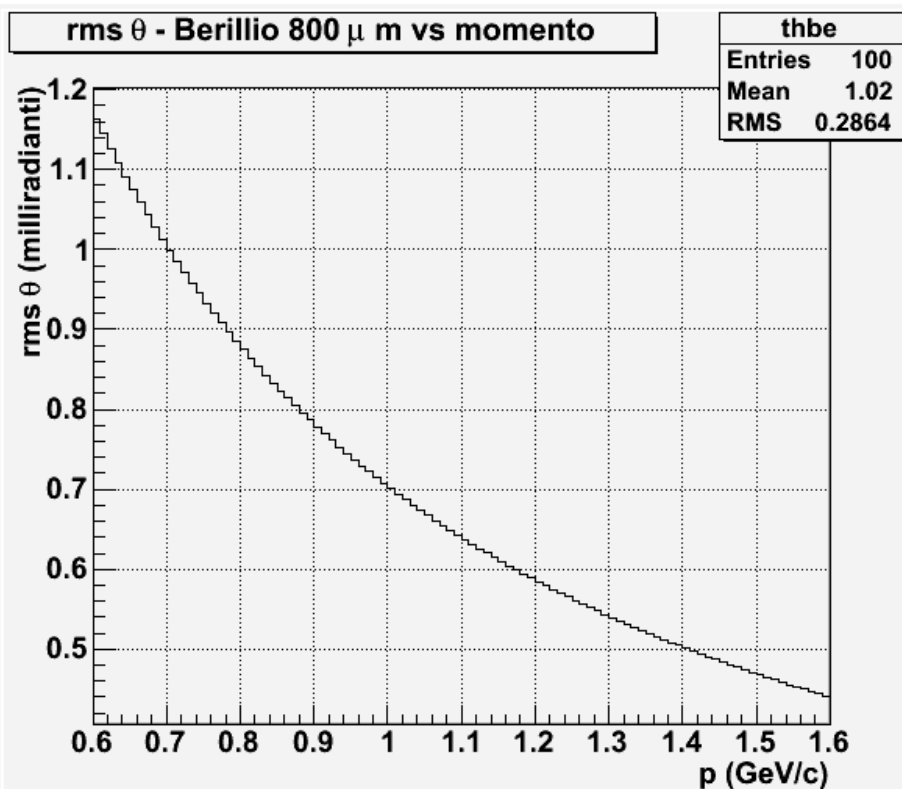
• Ricostruzione:

- ☐ Smearing gaussiano dei punti di impatto
- ☐ Aggiunta di punti spuri ricostruiti (noise – particelle soft)

Scattering multiplo

$$\theta_0 = \frac{13.6 \text{ MeV}}{\beta_{cp}} z \sqrt{x/X_0} \left[1 + 0.038 \ln(x/X_0) \right] \quad \theta_0 = \theta_{\text{plane}}^{\text{rms}} = \frac{1}{\sqrt{2}} \theta_{\text{space}}^{\text{rms}}$$



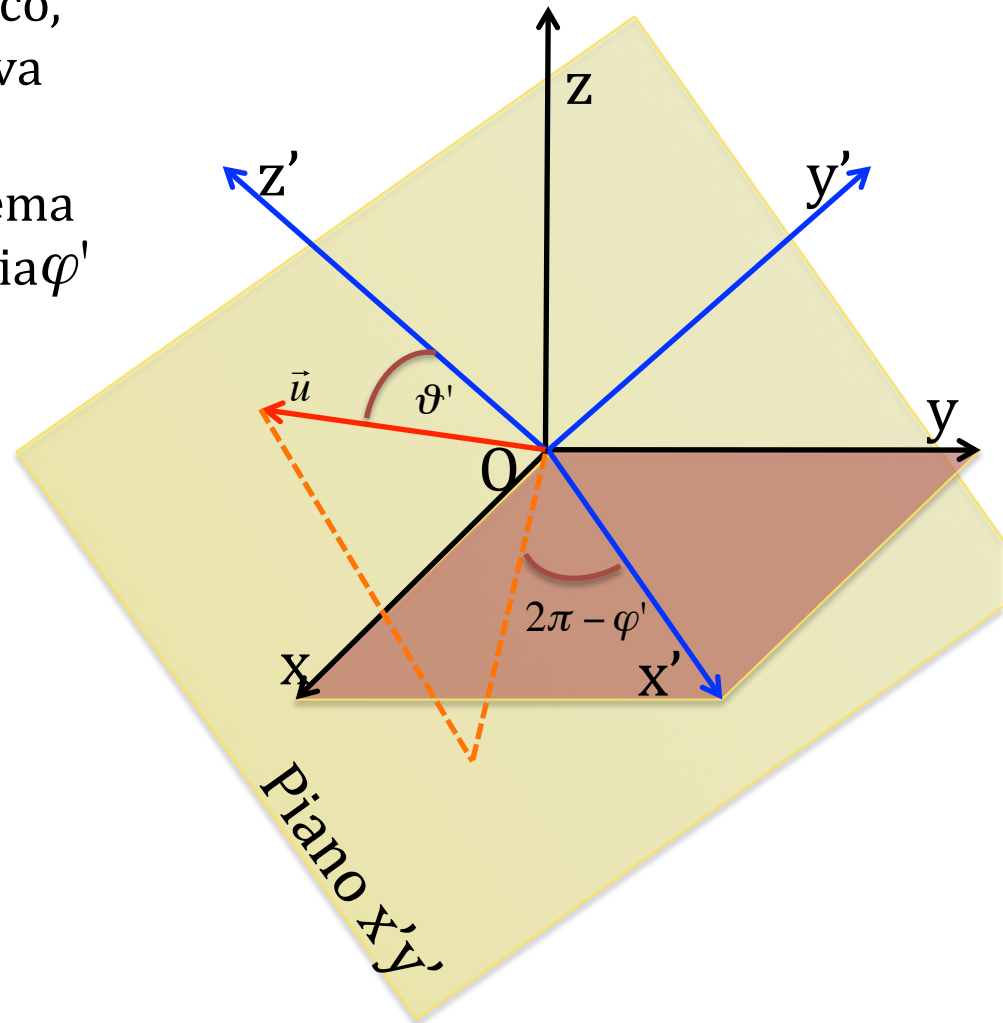


Sono riportati nelle figure i valori di θ_{space}^{rms} approssimando $\beta=1$

- ❑ Si indica con z' la direzione della particella nel sistema di laboratorio
- ❑ Si sceglie un secondo sistema di riferimento $Ox'y'z'$ avente l'asse x' appartenente al piano xy
- ❑ L'asse y' si determina in modo univoco, imponendo che la terna $x'y'z'$ sia positiva
- ❑ Il vettore \vec{u} rappresenta la nuova direzione della particella, che, nel sistema con apici, ha angolo polare ϑ' e anomalia φ'

OBIETTIVO

Esprimere le componenti della nuova direzione della particella nel sistema di riferimento di laboratorio



Le componenti del versore \hat{k}' nel sistema di riferimento di laboratorio sono:

$$\hat{k}' = (\sin \vartheta \cos \varphi) \hat{i} + (\sin \vartheta \sin \varphi) \hat{j} + (\cos \vartheta) \hat{k}$$

Imponiamo che il versore \hat{i}' appartenga al piano xy, che sia ortogonale a \hat{k}' e che abbia modulo uno: $\hat{i}' = A\hat{i} + B\hat{j}$

$$\hat{i}' \cdot \hat{k}' = 0 \quad \Rightarrow \quad A(\sin \vartheta \cos \varphi) + B(\sin \vartheta \sin \varphi) = 0 \quad \Rightarrow \quad A = -B \tan \varphi$$

$$\hat{i}' \cdot \hat{i}' = 1 \quad \Rightarrow \quad B^2(1 + \tan^2 \varphi) = 1 \quad \Rightarrow \quad B^2 = \frac{1}{1 + \tan^2 \varphi} = \cos^2 \varphi$$

$$\begin{aligned} \hat{i}' &= A\hat{i} + B\hat{j} = B[-(\tan \varphi)\hat{i} + \hat{j}] = (\cos \varphi)[-(\tan \varphi)\hat{i} + \hat{j}] \\ &= -(\sin \varphi)\hat{i} + (\cos \varphi)\hat{j} \end{aligned}$$

Il versore \hat{j}' si trova imponendo che la terna $Ox'y'z'$ sia positiva:

$$\hat{j}' = \hat{k}' \times \hat{i}' = \begin{vmatrix} \hat{i} & \hat{j} & \hat{k} \\ \sin \vartheta \cos \varphi & \sin \vartheta \sin \varphi & \cos \vartheta \\ -\sin \varphi & \cos \varphi & 0 \end{vmatrix} =$$

$$= -(\cos \varphi \cos \vartheta) \hat{i} - (\sin \varphi \cos \vartheta) \hat{j} + \sin \vartheta \hat{k}$$

Nel sistema $Ox'y'z'$ il vettore \mathbf{u} ha componenti:

$$\begin{aligned} \vec{u} &= (\sin \vartheta' \cos \varphi') \hat{i}' + (\sin \vartheta' \sin \varphi') \hat{j}' + (\cos \vartheta') \hat{k}' \equiv \alpha \hat{i}' + \beta \hat{j}' + \gamma \hat{k}' \\ &= -\alpha (\sin \varphi) \hat{i} + \alpha (\cos \varphi) \hat{j} - \beta (\cos \varphi \cos \vartheta) \hat{i} - \beta (\sin \varphi \cos \vartheta) \hat{j} + \beta \sin \vartheta \hat{k} + \\ &+ \gamma (\sin \vartheta \cos \varphi) \hat{i} + \gamma (\sin \vartheta \sin \varphi) \hat{j} + \gamma (\cos \vartheta) \hat{k} \\ &= [-\alpha (\sin \varphi) - \beta (\cos \varphi \cos \vartheta) + \gamma (\sin \vartheta \cos \varphi)] \hat{i} + \\ &+ [\alpha (\cos \varphi) - \beta (\sin \varphi \cos \vartheta) + \gamma (\sin \vartheta \sin \varphi)] \hat{j} + [\beta (\sin \vartheta) + \gamma (\cos \vartheta)] \hat{k} \end{aligned}$$

In notazione matriciale, le componenti del vettore \mathbf{u} nel sistema di laboratorio si trovano effettuando il prodotto:

$$\begin{pmatrix} -\sin\varphi & -\cos\varphi\cos\vartheta & \sin\vartheta\cos\varphi \\ \cos\varphi & -\sin\varphi\cos\vartheta & \sin\vartheta\sin\varphi \\ 0 & \sin\vartheta & \cos\vartheta \end{pmatrix} \begin{pmatrix} \sin\vartheta'\cos\varphi' \\ \sin\vartheta'\sin\varphi' \\ \cos\vartheta' \end{pmatrix}$$

```
void rotate(Double_t th, Double_t ph, Double_t thp, Double_t php, Double_t *cd){  
    Double_t mr[3][3];  
      
    mr[0][0]=-TMath::Sin(ph);  
    mr[1][0]=TMath::Cos(ph);  
    mr[2][0]=0.;  
    mr[0][1]=-TMath::Cos(ph)*TMath::Cos(th);  
    mr[1][1]=-TMath::Cos(th)*TMath::Sin(ph);  
    mr[2][1]=TMath::Sin(th);  
    mr[0][2]=TMath::Sin(th)*TMath::Cos(ph);  
    mr[1][2]=TMath::Sin(th)*TMath::Sin(ph);  
    mr[2][2]=TMath::Cos(th);  
      
    Double_t cdp[3];  
    cdp[0]=TMath::Sin(thp)*TMath::Cos(php);  
    cdp[1]=TMath::Sin(thp)*TMath::Sin(php);  
    cdp[2]=TMath::Cos(thp);  
    for(Int_t i=0;i<3;i++){  
        cd[i]=0.;  
        for(Int_t j=0;j<3;j++){  
            cd[i]+=mr[i][j]*cdp[j];  
        }  
    }  
}
```

Ricostruzione del vertice

- formazione di “tracklets” per associazione di punti di impatto ricostruiti sui due layer, aventi piccola differenza in azimuth
- Nel piano z-r, si trovano le intersezione dei tracklet con l’asse del fascio
- La posizione del vertice è valutata come posizione più probabile di intersezione dei tracklets

